



特点

- 全扩散工艺，分布式扩散放大门极
- 开关损耗低，优良的动态特性
- 优良的高频性能，适用频率2.5-10KHZ
- 平板型陶瓷管封装，双面冷却

典型应用

- 逆变器、电焊机
- 斩波器、感应器
- 各种类型的强迫换流器

$I_{T(AV)}$	1000A
$V_{DRM}/V_{RRM}$	800-2500V
$T_q$	12-18us
$I_{TSM}$	12KA

符号	参数	测试条件	结温 $T_J(^{\circ}C)$	参数值			单位
				最小	典型	最大	
$I_{T(AV)}$	通态平均电流	180° 正弦半波, 50HZ 双面散热, THS=98°C	125			1000	A
$V_{DRM}$ $V_{RRM}$	断态重复峰值电压 反向重复峰值电压	$V_{DRM} \& V_{RRM} \text{ tp}=10\text{ms}$ $V_{DSM} \& V_{RSM} = V_{DRM} \& V_{RRM} + 100V$	125	800		2500	V
$I_{DRM}$ $I_{RRM}$	断态重复峰值电流 反向重复峰值电流	$V_{DM} = V_{DRM}$ $V_{RM} = V_{RRM}$	125			100	mA
$I_{TSM}$	通态不重复浪涌电流	10ms 底宽正弦半波	125			12	KA
$I^2t$	浪涌电流平方时间积	$V_R = 0.6V_{RRM}$				1620	$A^{2S} \cdot 10^3$
$V_{TO}$	门槛电压		125			1.63	V
$r_T$	斜率电阻					0.25	mΩ
$V_{TM}$	通态峰值电压	$I_{TM} = 3000A, F = 7.0KN$	125			3.2	V
dv/dt	断态电压临界上升率	$V_{DM} = 0.67V_{DRM}$	125			1000	V/us
di/dt	通态电流临界上升率	$V_{DM} = 67\% V_{DRM}$ TO 800A, 门极脉冲 $t_r \leq 0.5\mu s$ $I_{GM} = 1.5A$ 重复值	125			250	A/us
$I_{TM}$	反向恢复电流	$I_{TM} = 3000A, t_q = 1000\mu s$ $Di/dt = -20A/\mu s.$ $V_r = 50V$	125			60	A
$t_{rr}$	反向恢复时间					3.5	us
$Q_{rr}$	恢复电荷					105	120
$t_q$	电流换相关断时间	$I_{TM} = 3000A,$ $t_q = 1000\mu s, V_r = 50V$ $dv/dt = 30V/\mu s, di/dt = -20A/\mu s$	125	12		18	us
$I_{GT}$	门极触发电流	$V_A = 12V, I_A = 1A$	25	30		300	mA
$V_{GT}$	门极触发电压			0.8		3.0	V
$I_H$	维持电流			20		400	mA
$V_{GD}$	门极不触发电压	$V_{DM} = 0.67V_{DRM}$	125	0.3			V
$R_{th(j-h)}$	热阻抗 (结至散热器)	双面散热, 压紧力 70KN				0.022	°C/W
$F_M$	安装力			21		30	KN
$T_{stq}$	储存温度			-40		140	°C
$W_t$	质量						g
Outlin	外形						

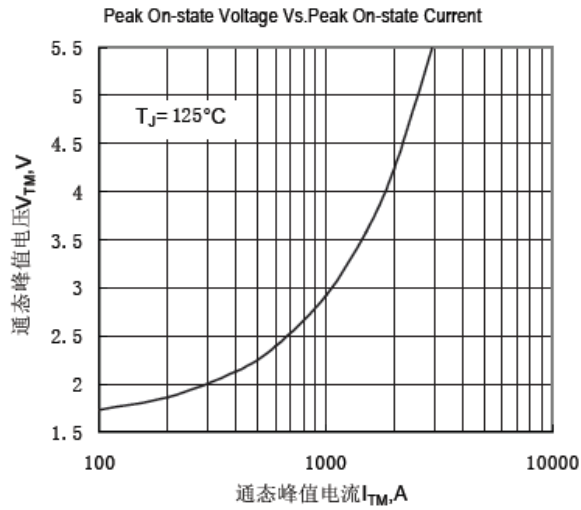


Fig.1 通态伏安特性曲线

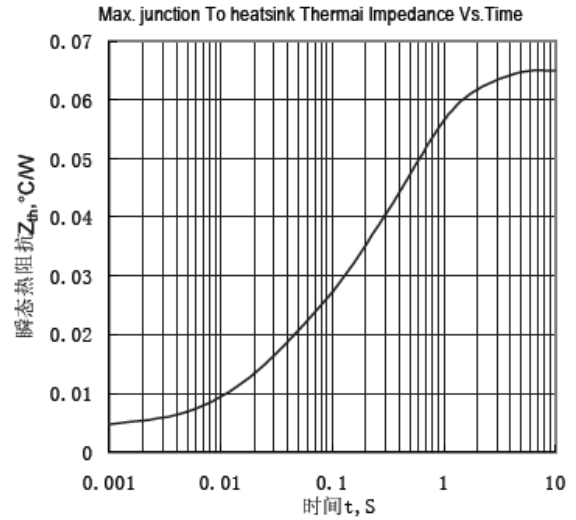


Fig.2 结至散热器瞬态热阻抗曲线

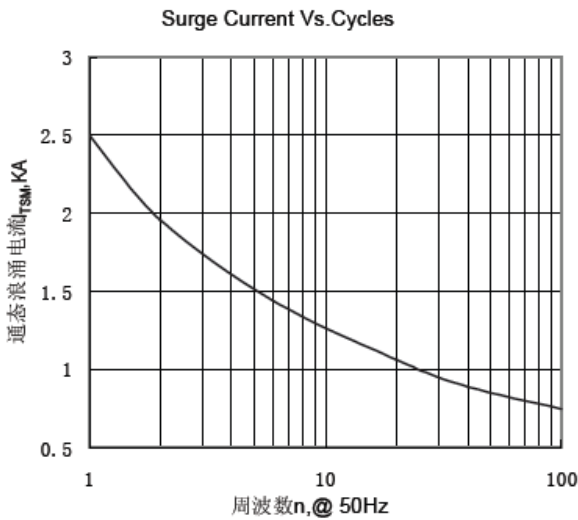


Fig.3 通态浪涌电流与周波数的关系曲线

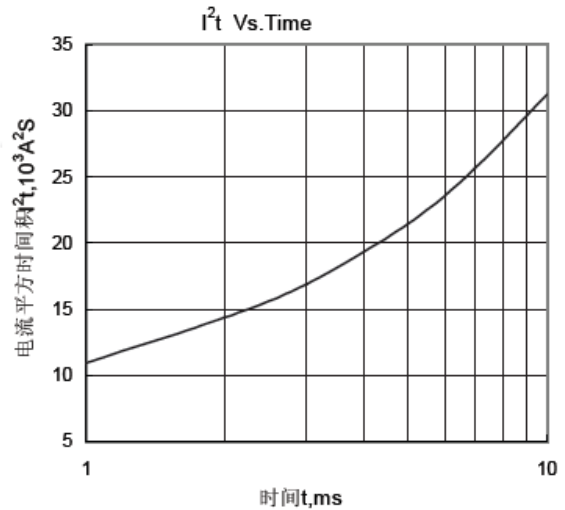


Fig.4  $I^2t$  特性曲线

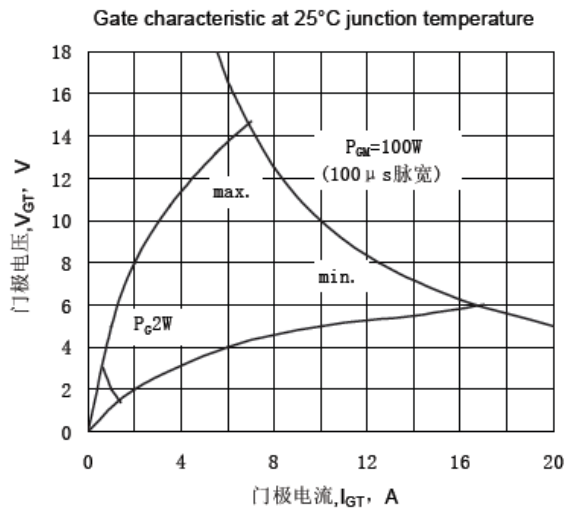


Fig.5 门极功率曲线

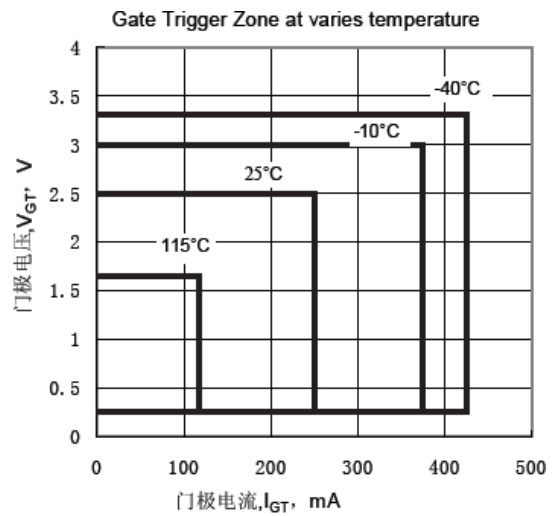


Fig.6 门极触发特性曲线



外形图:

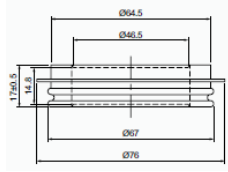


图 1

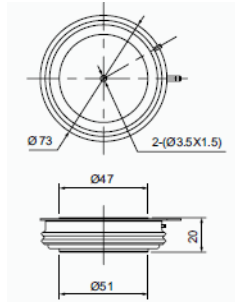


图 2

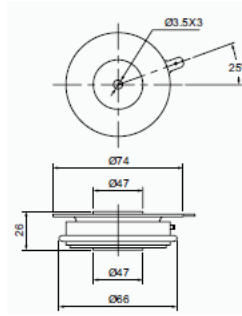


图 3

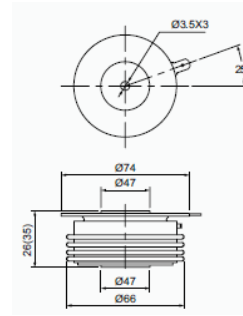


图 4